気候変動を考慮した海岸防護施設の耐波設計とライフサイクルマネジメントに関する研究

京都大学 防災研究所 間瀬 肇

日本周辺の冬季波候と テレコネクションパターンの関係

発表内容

- ▶日本周辺の冬季波候とテレコネクションパターンの関係
- ▶地球温暖化に伴う海象要因変化が海岸護 岸の安全性能に及ぼす影響評価
- ▶地球温暖化による沿岸外力変化を考慮した消波ブロック被覆堤の滑動量解析

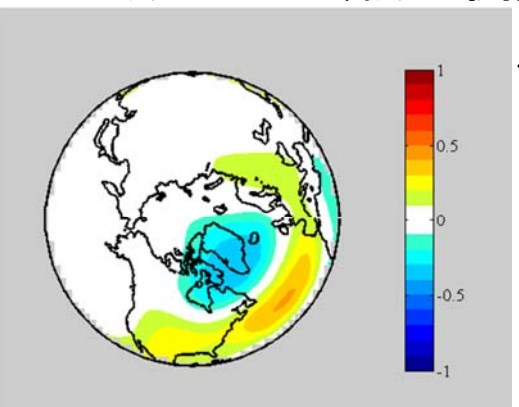
背景

- ▶気候変動が波浪特性の長期変化に影響を及 ぼすことが報告されており(Graham et al. 2001), 沿岸域への影響評価のためには、気候変動 に対応した全球および領域の長期波浪変化 予測が重要である.
- ▶最近では、気候変動に対応した海洋波浪特性の長期変動について予測が行われつつある(Hemer et al., 2011).

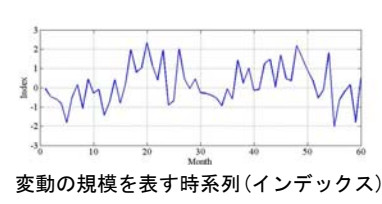
テレコネクションパターンとは?

大規模な循環場の組織的な変動

● North Atlantic Oscillation(NAO):アイスランド低 気圧とアゾレス高気圧の強弱のシーソー現象

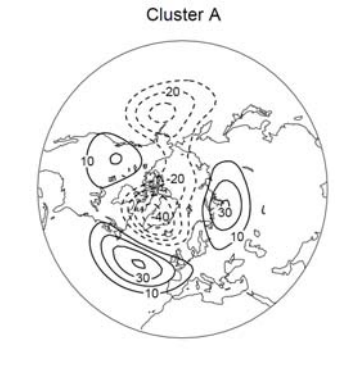


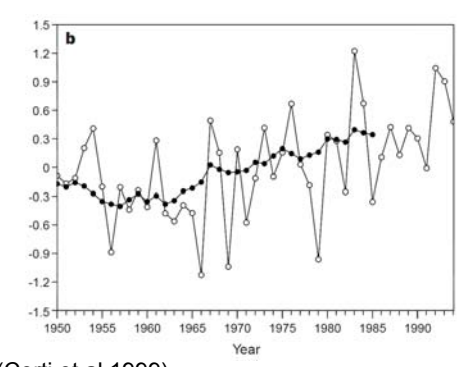




気候変動とテレコネクションパターン変化

□テレコネクションパターンの変化は、地域ごとの 気候変動・変化の中心的な役割を持つ(IPCC, 2007)





(Corti et al. 1999).

北大西洋における波浪場

North Atlantic Oscillation (NAO)

Correlation with NAO



NAOインデックスと冬季 平均波高の相関係数 (Woolf et al., 2002)

- 極大波高 (e.g. Izaguirre et al. 2010)
- 20世紀後半40年間の波高トレンド (e.g. Wang et al. 2000)

本研究のアプローチ

大気場と波浪場の局所的な関係

- ●特定の地点における気圧、海上風、波高の変化の対応
 - → 波高の回帰式での予測手法の検討

大気場の大規模な変動(テレコネクション パターン)と波浪場の関係

- ✓ 気候変動における波浪場の変化の解釈が可能になる
- ▲ ✓ 波浪場の面的な変化を予測ができる
 - ✓ 気候モデルの再現性の検証ができる
 - ✓ 様々な気候変動と関連付けができる

アプローチ

Target:月平均量, 北西太平洋, 冬季(12~2月)

1. 大気場と波浪場の局所的な関係

気圧. 海上風から波高を求める回帰式の構築

2. テレコネクションパターンと波浪場の関係

過去の気候の解析値を用いる

3. 温暖化条件下におけるテレコネクションパターンと波浪場の変化の関係

温暖化条件下の将来気候の予測結果を用いる

大気場と波浪場の局所的な関係

略語と使用データ

□略語

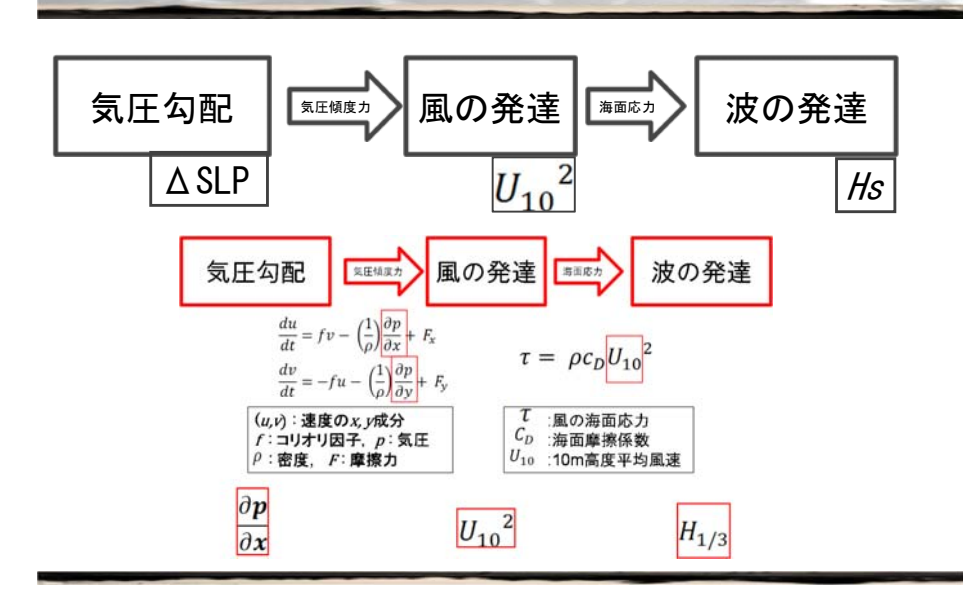
● SLP: Sea Level Pressure 海面更正気圧

● Z500 : 500hPa面高度 ● U₁₀ : 10m高度風速

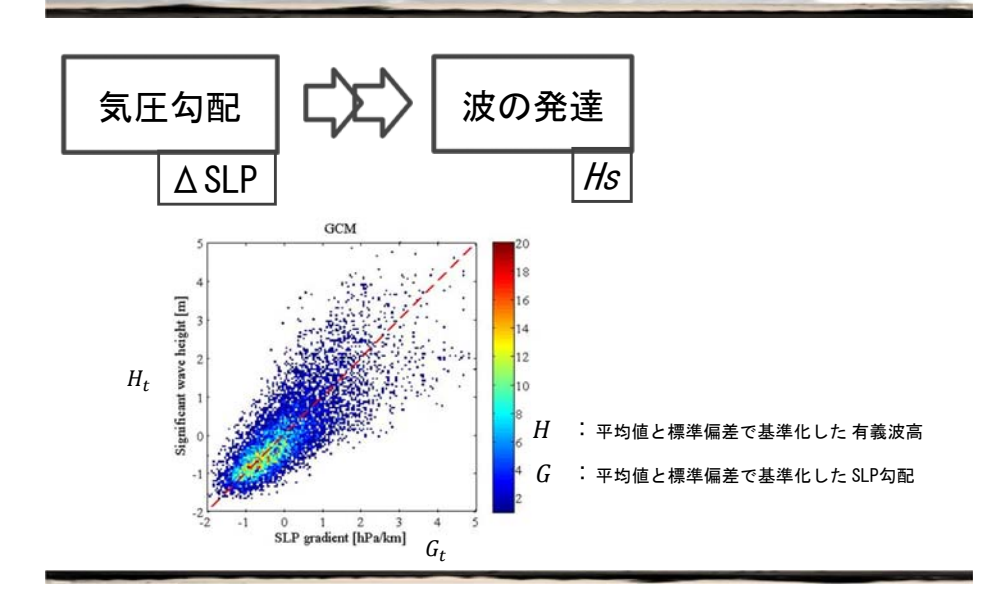
□使用データ (解析値)

気候モデル	期間	データ
NCEP/NCAR	1959-2001	Z500, SLP
ERA-40	1951-2000	Z500, SLP, U ₁₀ , Hs
MRI-AGCM + SWAN (森ら, 2009)	1979-2003 2075-2099	Z500, SLP, U ₁₀ , Hs

大気場と波浪場の局所的な関係

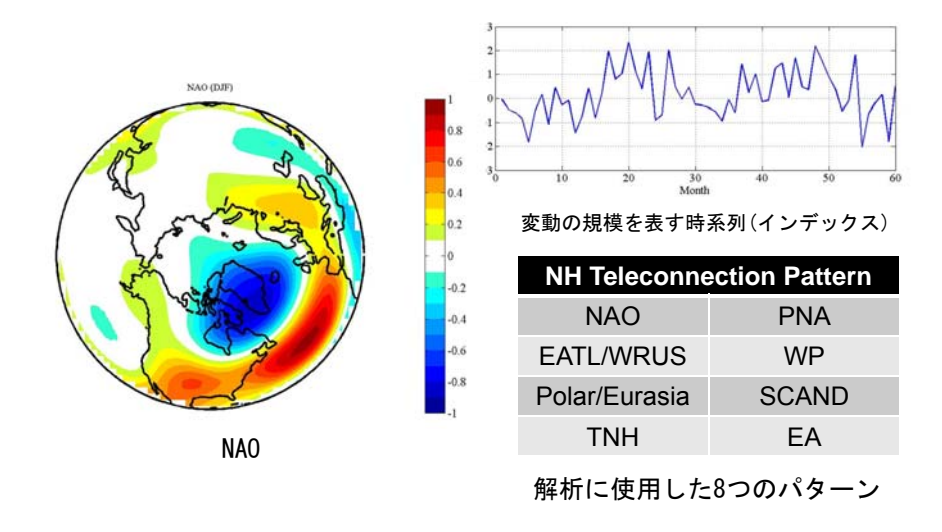


大気場と波浪場の局所的な関係

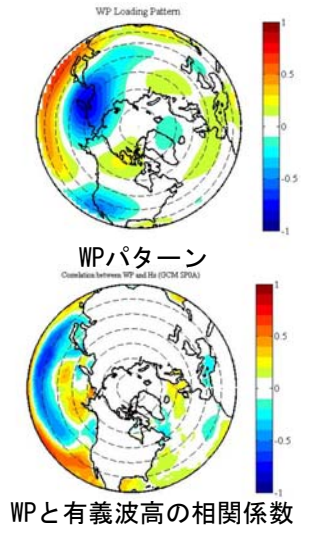


テレコネクションパターンと 波浪場の関係

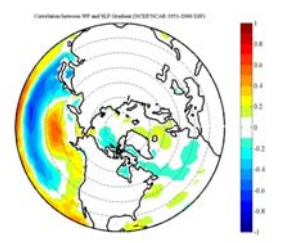
テレコネクションパターン



テレコネクションパターンと波浪場の 相関解析



⇒ SLP勾配と有義波高の北西太平 洋における変動パターンにバンド 状のものを持つことを示唆する.



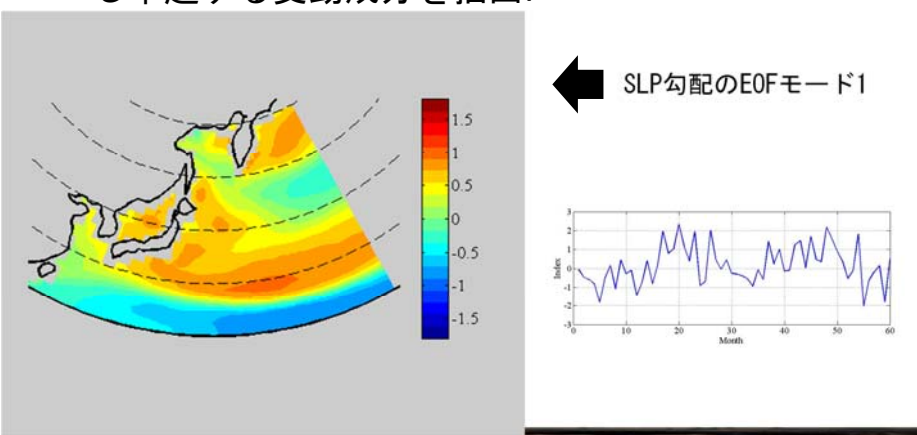
WPとSLP勾配の相関係数

相関係数分布は北西太平洋におい

て緯度に依存したバンド状を示す.

大気場の大規模な変動と波浪の関係

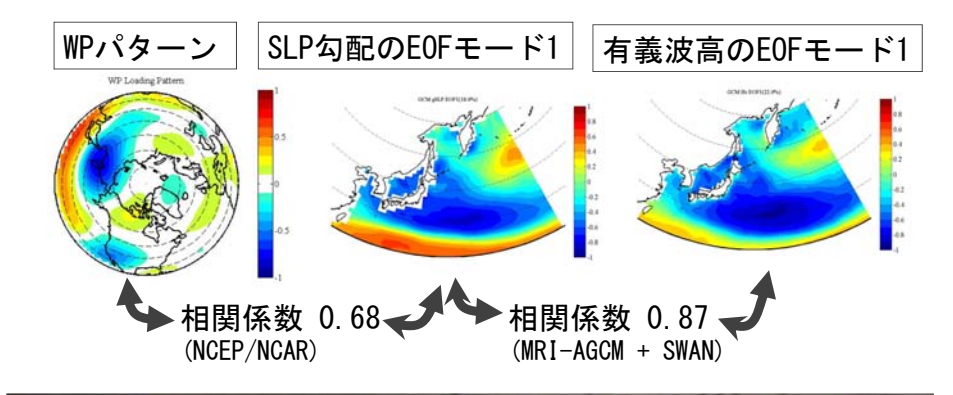
□北西太平洋(東経120-180, 北緯20-60) における有義波高, SLP勾配に主成分分析(E0F解析) を適用し卓越する変動成分を抽出.



温暖化条件下における テレコネクションパターンと 波浪場の変化の関係

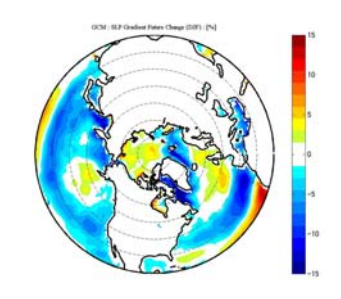
テレコネクションパターンと波浪場 EOF解析

- □北西太平洋における有義波高, SLP勾配に主成分 分析(EOF解析)を適用し卓越する変動成分を抽出.
 - SLP勾配・有義波高の変動パターン (EOFモード)はバンド状の構造を持ち、WPパターンと相関が高い

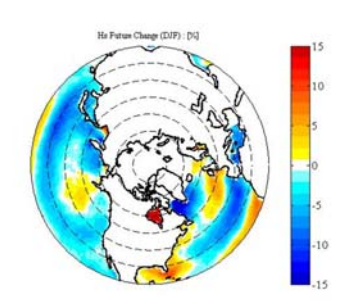


温暖化条件下における関係

MRI-AGCMとSWANの現在気候(1979-2003)と温暖化 条件下(A1Bシナリオ)の将来気候(2075-2099)のデータを用いて解析を行った。

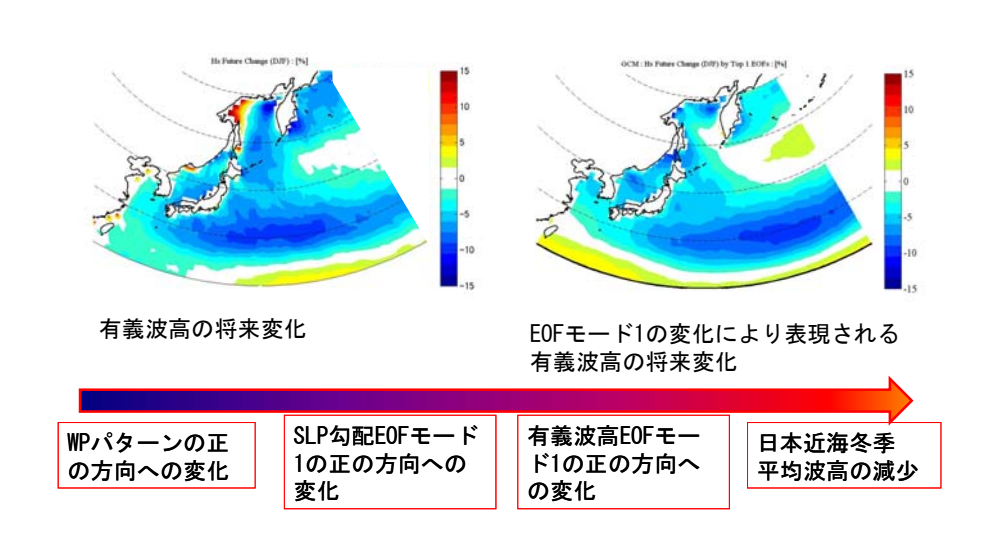


SLP勾配の将来変化

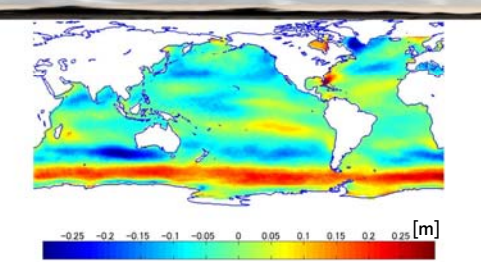


有義波高の将来変化

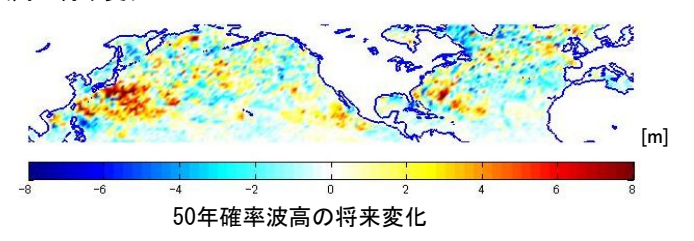
温暖化条件下における関係



波浪の将来変化予測



平均波高の将来変化



まとめ

- ▶大気場と波高の関係を把握し、気圧から波高を 推定する統計的予測方法の検討を行った。
- ▶日本の冬季平均波高に関して、WPパターンの 影響が強いことが分かった。
- ➤温暖化条件下において、WPパターンの変化に伴い、SLP勾配、Hsの変動パターンの偏りが発生し、日本近海の冬季平均波高が減少することが分かった。





地球温暖化に伴う海象要因変化が 海岸構造物の安全性能に及ぼす影響評価

発表内容

- 1. 研究目的
- 2. 信頼性設計法および性能関数
- 3. 対象海岸における地形・海象条件の設定
- 4. 被災確率の算定
- 5. 気候変動に対する海岸構造物の適用策の一考察
- 6. まとめ

v. & C v.

26



発表内容

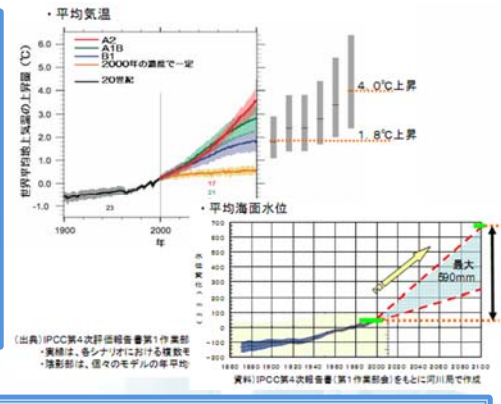
1. 研究目的

- 2. 信頼性設計法および性能関数
- 3. 対象海岸における地形・海象条件の設定
- 4. 被災確率の算定
- 5. 気候変動に対する海岸構造物の適用策の一考察
- 6. まとめ



研究目的

- 近年, 観測事実から地球温暖 化がほぼ明らかになっている.
- 種々の温暖化シナリオのもとで気候変動の長期予測が行われている(例えば, IPCC, 2007).
- 我が国の多くの海岸では、昭 和30年代後半に設定された計 画外力を確定値として、海岸 構造物が設計されてきた。

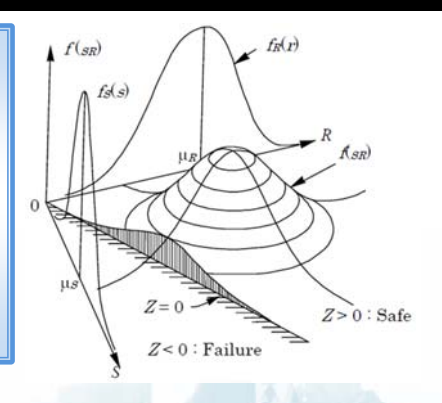


地球温暖化に伴う海面上昇や波の将来変化といった計画外力の 変化を考慮して、今後は海岸構造物の設計や維持管理を図らなければならない。



研究目的

- 不確定な要素を合理的かつ定量的に 取り扱う設計法 => 信頼性設計法
- 現況の設計条件に対しては、防波堤 や消波ブロックの耐波安定性, 越波流 量に及ぼす影響等が検討されている (下迫ら,1997:河合ら,1997:長尾 5.2005).
- 将来気候における外力状況のもとで、 海岸構造物の安全性能を評価した事 例は見当たらない.



不確定要因を確率的に取り扱うことができ、合理的な設計が可能 となる設計水準レベル3の信頼性設計法に基づき、海象要因の変 化が海岸構造物の安全性能に及ぼす影響を評価したうえで、海岸 特性に応じた適応策を検討するための方法を提案する



発表内容

- . はじめに(研究背景&目的)
- 信頼性設計法および性能関数
- 対象海岸における地形・海象条件の設定
- 被災確率の算定
- 気候変動に対する海岸構造物の適用策の-

30



信頼性設計法

安全率に基づく設計法

既往の海岸構造物の設計で は, 安全率が設計基準値以 上であれば構造物の安全性 が確保されていると見なす設 計法を採用

信頼性設計法

構造物の被災モードを特定 し、被災が生じる確率を定量 的に評価して、各モードに関 する被災確率を許容値以下に 抑える設計法



設計水準

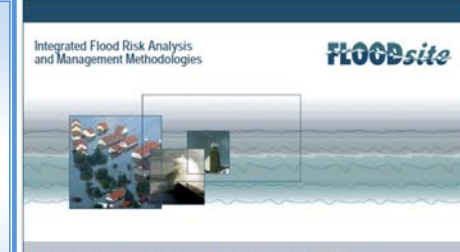
レベル 3

設計水準レベル3を採 用し、不確定要因の統 計的特性やパラメータ がすべて既知として与 え. 破壊生起確率をモ ンテカルロ法により直 接計算で算出した。



性能関数①

- 信頼性設計法では、まず特定した 各被災モードに対し、それぞれの被 災モードを規定する性能関数Zを定 義する.
- 性能関数は被災モードごとに各々 に関係する設計因子を抽出して. 抵抗力と作用力の差などとした数 式として表す.
- Z > 0:被災の事象が生起しない
- Z ≦ 0:被災が生じる.



Failure Mechanisms for Flood Defence Structures

1) 越波による堤防・護岸の崩壊

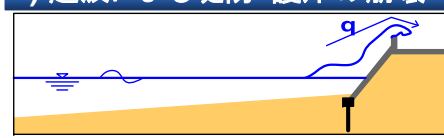
※ 越波・打上げに関連した被災 モードを抽出した

- 2) 空洞化した堤防・護岸天端の打込み波圧による陥没
- 3) 波圧によるパラペットの倒壊



性能関数②

1) 越波による堤防・護岸の崩壊



$$Z = q_a - q \le 0$$

- Z:性能関数.
- q_s:許容越波流量 (m³/s/m)
- a: 越波流量 (m³/s/m)

2) 堤防・護岸天端の打込み波圧による陥没



$Z = \sigma_v - M(P_v, B) / Z_d \le 0$

- s_y :天端被覆工の引張り降伏応力度 (N/mm^2) $M(P_y,B)$:は鉛直力と空洞幅から求まる曲げモー
- メント (kN·m) Z』は天端被覆工の断面係数 (cm3)
- 波圧によるパラペットの倒壊



$Z = f_{yk} - M(P_H, E_p) / Z_d \le 0$

- f_w: 鉄筋の引張り降伏応力度 (N/mm²)
- P_H: パラペットに作用する波圧強度 (kN/m)
- E_n: 裏込め土砂による受動土圧抵抗力 (kN/m)

33



発表内容

- . はじめに(研究背景&目的)
- . 信頼性設計法および性能関数
- 対象海岸における地形・海象条件の設定
- . 被災確率の算定
- 気候変動に対する海岸構造物の適用策の一

34



モデル海岸の選定



モデル海岸での検討断面











現在気候における設計諸元 総および確率分布パラメータ

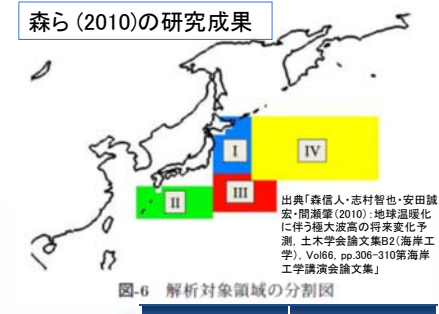


	仙台湾南部海岸	駿河海岸	高知海岸
設計沖波波高の 確率分布 Weibull分布 (κ=0.75~2.0) (α=0.01 μ)	Weibull分布 1) k=0.75, A=1.249 2) k=1.0, A=1.969 3) k=1.4, A=2.908 4) k=2.0, A=3.895	Weibull分布 1) k=0.75, A=0.721 2) k=1.0, A=1.137 3) k=1.4, A=1.680 4) k=2.0, A=2.248	Weibull分布 1) k=0.75, A=2.109 2) k=1.0, A=3.322 3) k=1.4,A=4.908 4) k=2.0,A=6.575
沖波周期 の確率分布	正規分布 μ =13.0, σ =0.013	正規分布 μ =14.0, σ =0.014	正規分布 μ =15.5, σ =0.016
計画高潮位	正規分布 μ =1.6, σ =0.16	正規分布 μ =1.66, σ =0.17	正規分布 μ =2.20, σ =0.22



将来気候の設計諸元の設定

- 「海面上昇量」はIPCC (2007) の A1Bシナリオの全世界平均である +0.3 mを設定した.(野口ら (2010) の研究成果とも整合)
- 「将来気候の設計波高」は, 森ら (2010) を参考に設定した.
- ①仙台湾南部海岸:現在設計波の1.08倍
- ②駿河海岸:現在設計波の1.22倍
- ③高知海岸:現在設計波の1.12倍
- ※それらを50年確率有義波高とした.
- 「波の周期」は現在気候のそれに比べて5%長くなると仮定した。



	現在気候	将来気候
仙台湾南部海岸 [エリアI]	(H ₀ ') _{pre} =7.7m	(H ₀ ') _{fut} =8.316m 現在気候×1.08
高知海岸 [エリアII]	(H ₀ ') _{pre} =13.0m	(H ₀ ') _{fut} =14.573m 現在気候×1.121
製河海岸 「エリアⅢ1	(H ₀ ') _{pre} =9.0m	(H ₀ ') _{fut} =10.98m 現在気候×1.220

38



 $(\alpha=0.1\,\mu)$

将来気候における設計諸元 総 および確率分布パラメータ

※ κ形状母数, Α: 尺度母数, μ: 平均, σ: 標準偏差 37

	単位	仙台湾南部海岸	駿河海岸	高知海岸
法面勾配	$\cot \alpha$	1:3	1:1.5	1:0.5
海底勾配	tan eta	1/20	1/10	1/20
設計沖波波高	m	8.32	5.42	14.57
沖波周期	s	13.7	14.7	16.3
計画高潮位	T.P.m	1.90	1.96	2.50
堤防天端高	T.P.m	6.2	8.2	9.3
法先地盤高	T.P.m	2.0	3.3	3.9

	仙台湾南部海岸	駿河海岸	高知海岸
設計沖波波高の 確率分布	Weibull分布 1) k=0.75, A=1.349 2) k=1.0, A=2.126 3) k=1.4, A=3.140 4) k=2.0, A=4.205	Weibull分布 1) k=0.75, A=1.003 2) k=1.0, A=1.580 3) k=1.4, A=2.331 4) k=2.0, A=3.123	Weibull分布 1) k=0.75, A=2.363 2) k=1.0, A=3.725 3) k=1.4,A=5.500 4) k=2.0,A=7.365
沖波周期 の確率分布	正規分布 μ=13.7,σ=0.0137	正規分布 μ =14.7, σ =0.0147	正規分布 μ =16.3, σ =0.0163
計画高潮位 の確率分布	正規分布 μ=1.9,σ=0.19	正規分布 μ =1.96, σ =0.20	正規分布 μ =2.50, σ =0.25

※ k.形状母数, A: 尺度母数, μ: 平均, σ: 標準偏差 39



抵抗力と作用力

抵抗力

(1) 許容越波流量q_(m³/s/m)

許容越波流量 q_aは対象としたモデル海岸が、いずれも3面張り構造の堤防形式であったため、合田 (2008) に準じて0.05 (m³/s/m) とした.

(2) 天端被覆工の引張り降伏応力度s_y

横道・藤田 (1971) および日本道路協会 (2002) から0.67 (N/mm²)を設定.

(3) 鉄筋の引張り降伏応力度f、(N/mm²)

岡安 (2005) の数値を参考に295 (N/mm²)を設定.

 $\propto \sigma_v \Phi_{f_w}$ の算出時に必要となる部材の分布 関数パラメータは、国土交通省港湾局監修 (2007) に基づいて設定した。

作用力

(a) 越波流量の算定

玉田ら(2010)の越波流量算定式を採用

$$\frac{q}{\sqrt{g{H_0^{''}}^3}} = 0.018 \sqrt[3]{\frac{R_{\max}}{H_0^{'}}} \left\{ 1 - \left(\frac{R_c}{H_0^{'}}\right) \middle/ \left(\frac{R_{\max}}{H_0^{'}}\right) \right\}^{6.240}$$

for $R_{max} \leq R_c$

_ ----

(b) 打込み波圧の算定

今井ら (2010) および清水ら (2010) を参考に打込み波圧算定式を定式化した。今井ら (2010)および清水ら (2010) は、道路護岸を対象に越波による打込み波圧に関する水理模型実験を実施し、打込み波圧と波浪の関係、波浪と越波流量の関係を得ている。

 $P_{V} = 10,828q$

(c) パラペットへ作用する波圧

富永・久津見 (1971) の波圧式

 $P_H = 1.8 \rho_0 g \tan \beta (\sqrt{H_0' L_0} - x)$ $R_0 = 1.7 \tan \beta (\sqrt{H_0' / L_0} - x)$

_____(



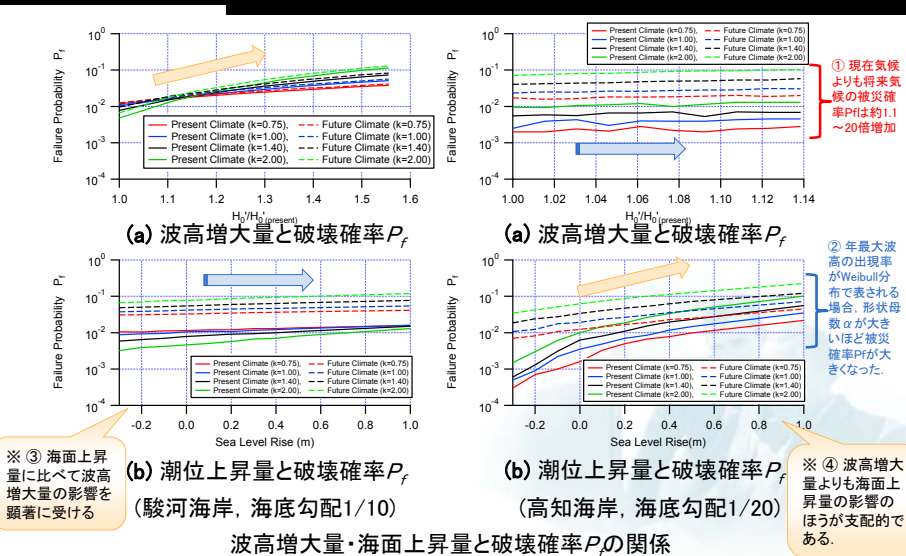
発表内容

- 1. はじめに(研究背景&目的)
- 2. 信頼性設計法および性能関数
- 3. 対象海岸における地形・海象条件の設定
- 4. 被災確率の算定
- 5. 気候変動に対する海岸構造物の適用策の一考察
- 6. まとめ

41

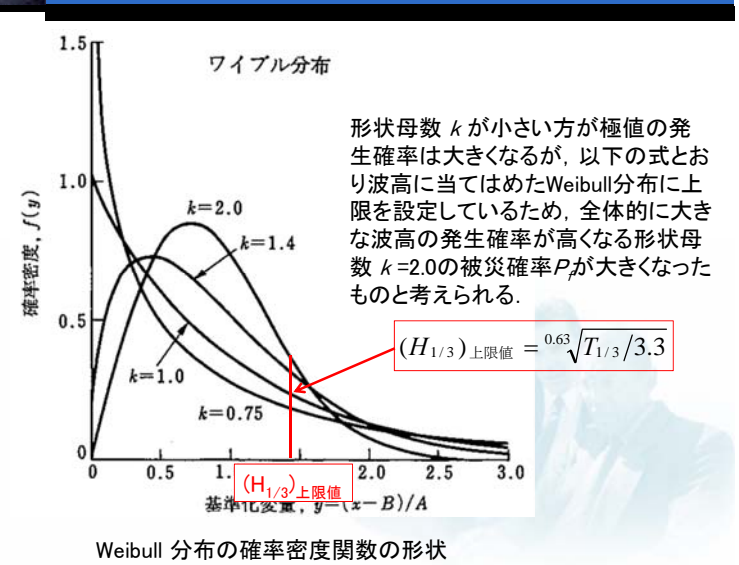


越波による堤防・護岸の崩壊





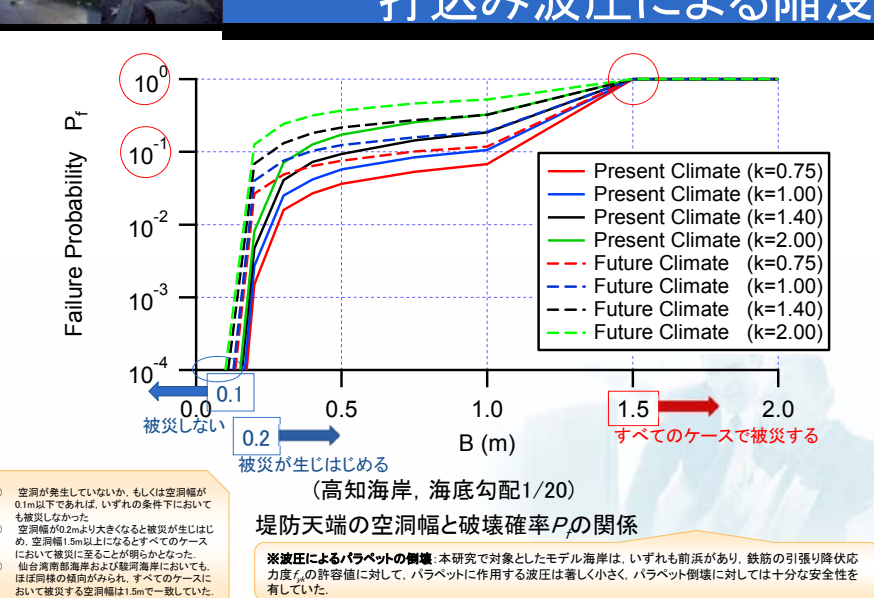
形状母数による安全性の違い





堤防・護岸天端の 打込み波圧による陥没

42



43

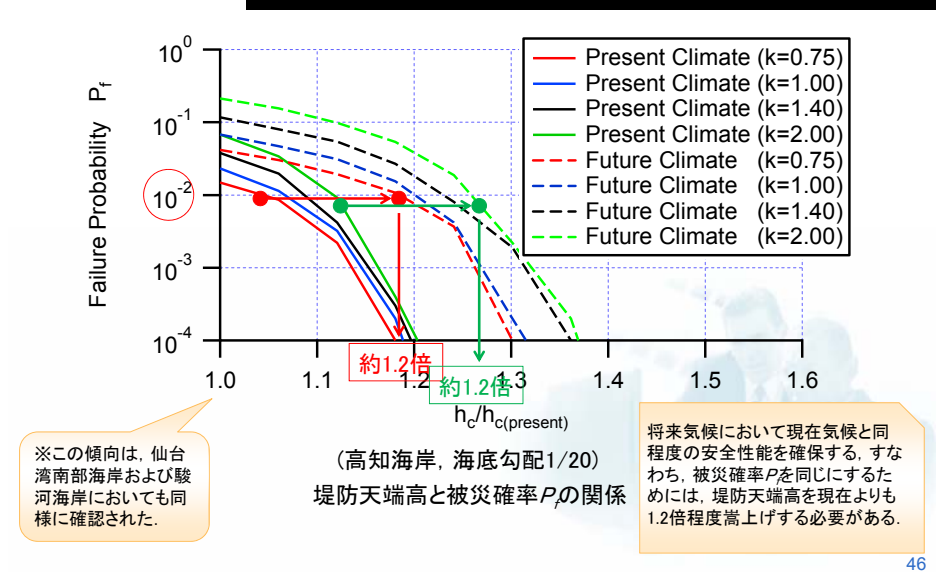


発表内容

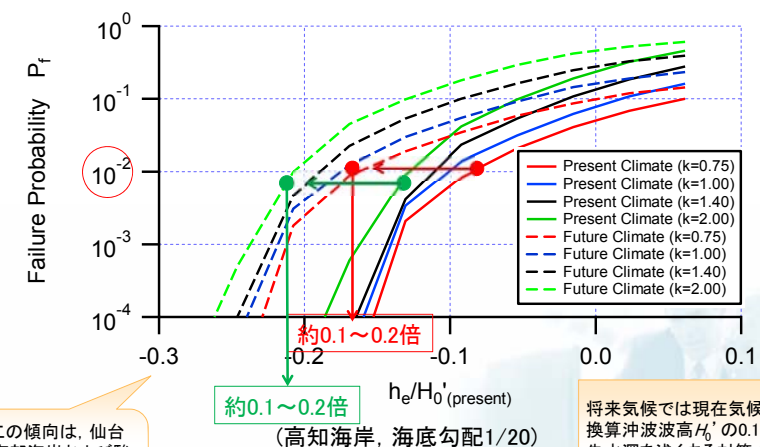
- . はじめに(研究背景&目的)
- 信頼性設計法および性能関数
- 3. 対象海岸における地形・海象条件の設定
- ・被災確率の算定
- 5. 気候変動に対する海岸構造物の適用策の一考察



堤防天端高の嵩上げ効果



養浜の効果



※この傾向は、仙台 湾南部海岸および駿 河海岸においても同 様に確認された.

将来気候では現在気候における 換算沖波波高升, の0.1~0.2倍法 先水深を浅くする対策 (例えば前 法先水深と被災確率Pの関係 浜の養浜等)を講じることで、現在 気候と同程度の安全性が確保さ

- . はじめに(研究背景&目的)
- 信頼性設計法および性能関数

- 6. まとめ

48



まとめ

- 1. 本研究で対象としたモデル海岸では、現在気候よりも将来気候の各モードの被災確率は約1.1~20倍増加する。また、年最大波高の出現率がWeibull 分布で表される場合、形状母数 κ が大きいほど被災確率は大きくなる。
- 2. いずれの被災モードにおいても、構造物の安全性能に及ぼす影響は、海底 勾配が1/10程度の急勾配の場合には波高増大量の影響が大きく、海底勾 配が1/20よりも緩い海岸では海面上昇量の影響が支配的であった。
- 3. 将来気候では現在気候に比べて越波による被災確率が増加するが、現在 気候と同程度の安全性能を確保するためには、堤防天端高を1.2倍程度嵩 上げする必要がある。また、法先水深と被災確率の関係から、将来気候で は0.1~0.2倍法先水深を浅くする対策(例えば養浜等)を講じることで、現在 気候と同程度の安全性が確保される。
- 4. 空洞化護岸に対する打込み波圧による天端陥没の被災では、空洞幅1.5m以上になるとほぼ被災に至ることが明らかとなった。

地球温暖化による沿岸外力変化を考慮した消波ブロック被覆堤の滑動量解析

49

DISASTER PREVENTION RESEARCH INST.

発表内容

- 1. 研究背景と目的
- 2. 検討対象外力と解析方法
- 3. 滑動量解析 期待滑動量·必要堤体幅
- 4. 考察 水深波高比•増加率
- 5. まとめ

DISASTER PREVENTION RESEARCH INST.

研究背景と目的

〇地球温暖化に伴う沿岸外力の変化

気候変動による海面上昇、台風の強大化が懸念。 沿岸外力要因→海面上昇による水深増大 →台風の強大化による高潮や波浪の増大

- ➡ 気象変化に対する海岸・港湾構造物の安定性を照査することが重要。
- ○性能照査(港湾の施設の技術上の基準・同解説、2007) 単にコストを削減するだけでなく、設計条件を上回る異常外力に対する性能等を総合的に照査することが重要となる。

研究背景と目的

- 〇変形量を考慮した防波堤の設計法
 - ■消波ブロック被覆堤
 - ●下迫ら(2006)は水理模型実験から波力の時系列モデルを 求め、下迫・高橋(1998)の混成堤の解析法から消波ブロック 被覆堤へ拡張。
- ➡ しかし、設計供用期間中のブロック被災を考慮していない。
 - ●高山ら(2007)はブロック被災、不完全被覆による波力増大 を考慮できる滑動量算定法を提案した。
 - ●辻尾・安田(2009)は設計供用期間中のブロック補修も考慮
- ▶ しかし、地球温暖化に伴う沿岸外力の変化を考慮していない

53

DISASTER PREVENTION RESEARCH INST.

検討対象外力と解析手法

研究背景と目的

- 〇地球温暖化に伴う沿岸外力の変化
 - ●酒井・岡安(2004)は海面上昇のみを考慮。
 - ●高木ら(2007)は現在と将来の期待滑動量を比較。
- しかし、将来変化は仮想的に与え、高潮偏差が考慮され ていない。経年的な変化も考慮されていない。
- 〇本研究では、

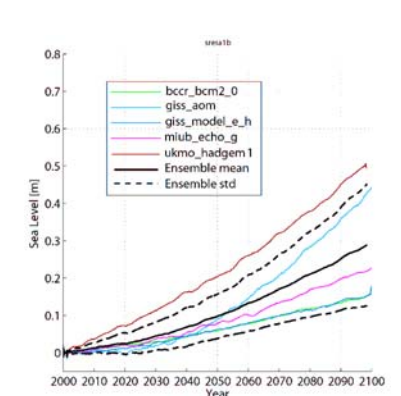
地球温暖化に伴って変化すると予測される設計供用期間 内の沿岸外力の変化を考慮した消波ブロック被覆堤の滑 動量解析を実施し、外力特性の変化が滑動安定性に及ぼ す影響を検討する。

DISASTER PREVENTION RESEARCH INST.

地球温暖化による外力への影響

①海面水位の上昇

森ら(2011) の将来変化の平均値を採用する。

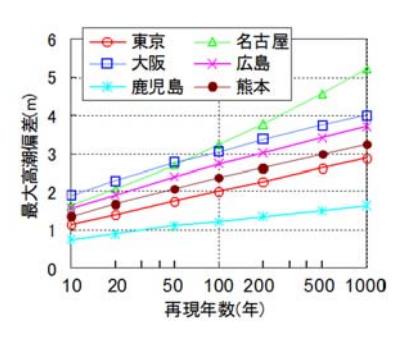


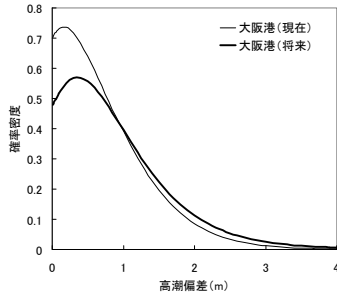
0.3m/100年の上昇

地球温暖化による外力への影響

②高潮偏差の増大

河合ら(2007)などの確率モデル台風を用いて温暖化後に 発生する台風から高潮偏差の増大傾向を把握し、モデル 化する。



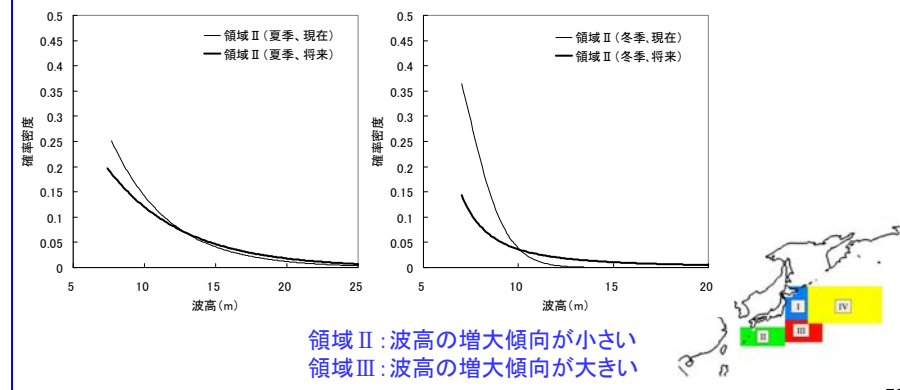


57

地球温暖化による外力への影響

③波浪の増大

A1Bシナリオに基づくGCMの海上風からSWANによって推算 した森ら(2009)の研究結果から領域ⅡとⅢの波浪の増大 傾向を把握し、モデル化する。



58

DISASTER PREVENTION RESEARCH INST.

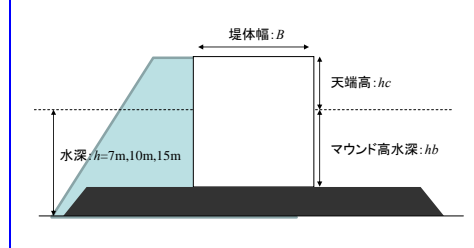
計算条件と計算手法

〇外力変化の設定方法

設計供用期間中の沿岸外力は基本的に線形増大すると仮定。 現在気候と将来気候の極値分布から算定される高潮偏差と 波浪は次式で発生年次を考慮して線形補完して求めた。

$$H(x) = H_1(x) + \frac{y}{Y} [H_2(x) - H_1(x)]$$

〇計算対象断面



項目	値		
沖波波浪	50年確率波浪 13.1m(λ=0.14)		
(現在, 夏)	Weibull分	布 k=1.4, A=3.	.42, B=7.63
沖波波浪	50年確率	率波浪 12.3m	$(\lambda = 0.77)$
(現在, 冬)	Weibull分	布 k=1.0, A=1.	.42, B=7.12
沖波波浪	50年確率	率波浪 21.5m	(λ=0.42)
(将来, 夏)	Weibull分布 k=1.4, A=6.41, B=7.30		
沖波波浪	50年確率波浪 13.46m(λ=1.16)		
(将来, 冬)	FT-II分布 k=5.0, A=0.90, B=7.84		
設置水深 (h)	7m	15m	
堤体幅: K _r	12.5m	14.1m	17.4m
=0.5			
堤体幅: K_r	12.0m	13.5m	13.8m
=0.3			
天端高: K_r	3.5m	4.5m	4.5m
=0.5			
天端高: K_r	3.2m	3.2m	2.8m
=0.3			

滑動量解析の計算条件

各波浪条件に対して、温暖化 による沿岸外力増大の考慮の 有無を設定。

また、設計供用期間中に被災 した消波ブロックの補修の有無、 設置水深(7m、10m、15m)、 16種類のブロック型(2t~80t) を対象とした。

★滑動量算出モデル

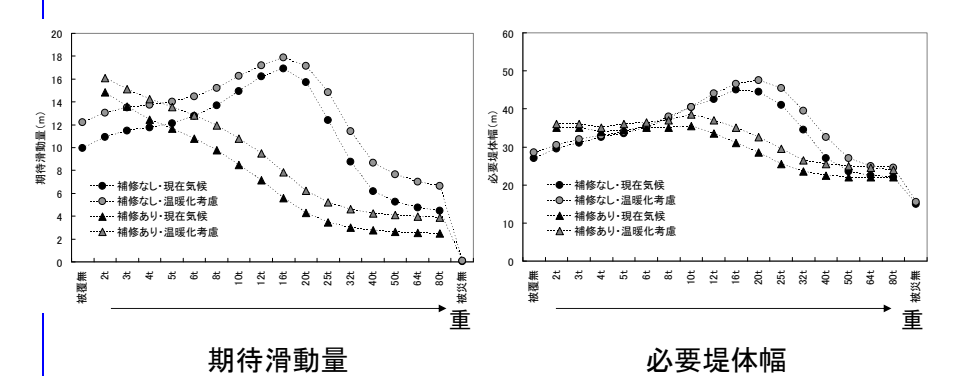
・下迫・高橋(1994)に基づく 高山ら(2007)の滑動量 算出モデルを用いた。

DISASIEK	PREVENI	ION KESE	AKUT II	۷ ۵ ۱.

対象領域	屈折係数	温暖化有無	補修有無	設置水深	ブロック 型
		0	О	7m,10m,15m	2t~80t
			X	7m,10m,15m	2t~80t
	1.0	**	О	7m,10m,15m	2t~80t
領域Ⅱ		X	X	7m,10m,15m	2t~80t
興城11			О	7m,10m,15m	2t~80t
	0.5	О	X	7m,10m,15m	2t~80t
		X	0	7m,10m,15m	2t~80t
•			X	7m,10m,15m	2t~80t
	0.5	0	0	7m,10m,15m	2t~80t
			X	7m,10m,15m	2t~80t
		X	0	7m,10m,15m	2t~80t
領域III			X	7m,10m,15m	2t~80t
與·與III	0.3		О	7m,10m,15m	2t~80t
		0	X	7m,10m,15m	2t~80t
		X	О	7m,10m,15m	2t~80t
			X	7m,10m,15m	2t~80t

滑動量解析と考察

期待滑動量と必要堤体幅

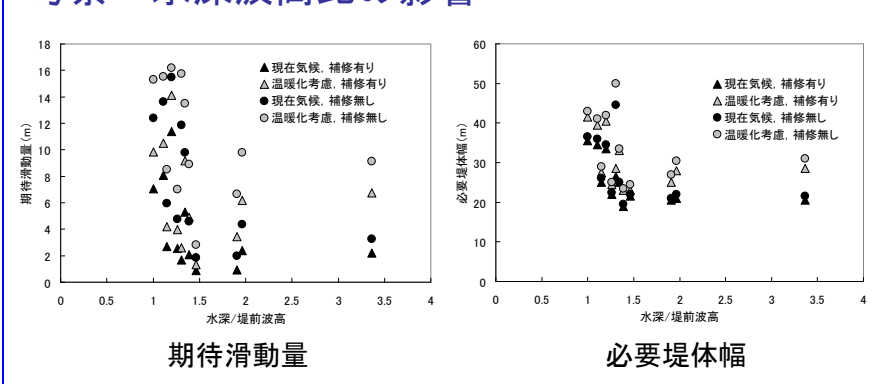


消波ブロックの補修を考慮しない場合、16tや20tでピークをとる。 これは、<u>消波ブロックが不完全被覆された時に、非常に大きい衝撃波圧が作</u> 用し、軽いブロックを用いた場合よりも滑動量が大きくなるためである。

62

DISASTER PREVENTION RESEARCH INST.

考察一水深波高比の影響

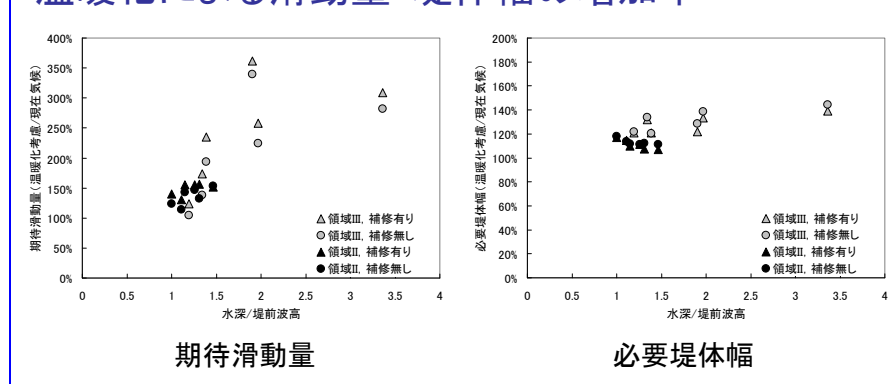


■水深波高比 1.5~2.0 で最低値を取り、水深波高比が小さくなるか、大きくなると期待滑動量や必要堤体幅が大きくなる。

→モンテカルロシミュレーションで大きな波高が発生した場合、水深が深いと大きいまま防波堤に到達する。水深が浅い場合、周期が長いと砕波限界波高が大きくなり、大きいまま堤体に作用し、滑動が大きくなる。

DISASTER PREVENTION RESEARCH INST.

温暖化による滑動量・堤体幅の増加率



■水深波高比が 1.0~1.5 程度では, 150% や 110% 程度で変化は小さい。 水深波高比が 1.5 を超えると, 増加し, 最大で 350% と 140% になった.

→これは、水深波高比が大きい場合、増大した波高がそのまま来襲しやすいが、水深波高比が小さい場合は、波高が増大しても、波高が砕波限界波高よりも大きくならないため、増加率は小さい。

まとめ

地球温暖化に伴う設計供用期間中の外力変化の影響を考慮して、消波ブロック被覆堤の滑動量解析を実施した。

- 本計算条件では、地球温暖化を考慮すると、期待滑動量が 100~350%程度に増加し、必要堤体幅が100~140%程度 に増加する。
- 温暖化による期待滑動量と必要堤体幅への影響は、想定される波高変化だけでなく、水深波高比に大きく依存する。
- 滑動を許容した防波堤の設計では、地球温暖化に伴う設計 供用期間中の長期的な沿岸外力変化を考慮する必要があ り、特に大水深域に設置する場合、その影響が大きくなるこ とがわかった。

65

DISASTER PREVENTION RESEARCH INST.

ご静聴ありがとうございました。

全体のまとめ

- ▼マルチアンサンブル波浪予測への適用を目指し、波浪の直接計算結果と再解析値を用いて、テレコネクションパターンと大気場と波浪のマクロ的な関係を明らかにした。
- → 不確定要因を確率的に取り扱うことができ、合理的な設計が可能となる設計水準レベル3の信頼性設計法に基づき、海象要因の変化が海岸護岸の安全性能に及ぼす影響を評価したうえで、海岸特性に応じた適応策を検討するための方法を提案した。
- → 地球温暖化に伴って変化すると予測される沿岸外力の 変化を考慮した消波ブロック被覆堤の滑動量解析を行い、外力特性の変化が滑動安定性に及ぼす影響を検 討した。